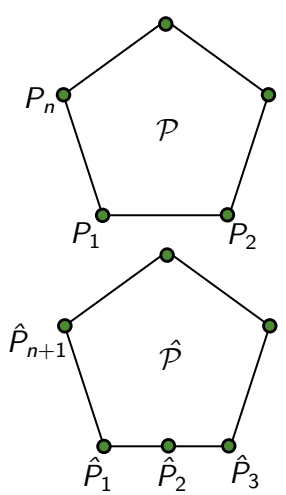


### Erweiterung auf nicht-konvexe Gebiete

- Lemma (ohne Beweis):**  
 Sei ein konvexes Polygon  $\mathcal{P}$  gegeben.  
 Bezeichne die baryzent. Koord. eines Punktes  $X$  bzgl.  $\mathcal{P}$  mit  $w_i, i=1 \dots n$ .  
 $\mathcal{P}$  werde nun durch Einfügen eines Punktes verfeinert. Bezeichne dieses verfeinerte Polygon mit  $\hat{\mathcal{P}}$ .  
 Bezeichne die baryzent. Koord. von  $X$  bzgl.  $\hat{\mathcal{P}}$  mit  $\hat{w}_i, i=1 \dots n+1$ .  
 Es gilt:
 
$$\sum_{i=1}^{n+1} \hat{w}_i = \sum_{i=1}^n w_i$$



- Konsequenz:** damit sind auch die  $\lambda$ 's für  $\hat{\mathcal{P}}$  wohl definiert

G. Zachmann Computer-Graphik 2 – SS 10 Verallgemeinerte baryzentrische Koordinaten 21

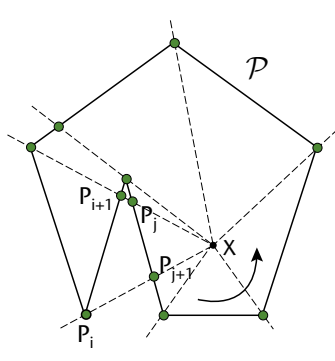
### Satz:

Sei  $\mathcal{P}$  ein beliebiges, einfaches Polygon.  
 Für alle  $X$ , die **nicht** auf dem Rand des Polygons  $\mathcal{P}$  liegen,  
 ist



$$\sum w_i(X) \neq 0$$

**Beweis:**

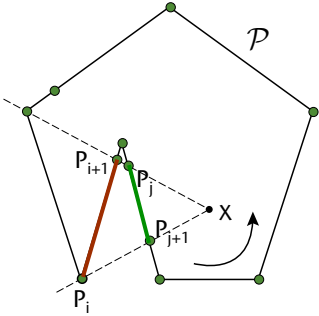
- Annahme:  $X$  im Inneren von  $\mathcal{P}$
- Zeichne Strahlen von  $X$  durch die Ecken von  $\mathcal{P}$  → Verfeinerung von  $\mathcal{P}$
- Nenne die Verfeinerung wieder  $\hat{\mathcal{P}}$ , und dessen Ecken  $P_1, \dots, P_n$ .





G. Zachmann Computer-Graphik 2 – SS 10 Verallgemeinerte baryzentrische Koordinaten 22

- Klassifiziere Kanten in "Entry-Kante" (rot) oder "Exit-Kante" (grün)
  - Entweder gemäß Umlaufsinn; oder gemäß Strahl von X aus
- Beobachtung: Zu jeder Entry-Kante gibt es eine (näher gelegene) Exit-Kante
- Definiere für jede Kante  $P_i P_{i+1}$  den Wert
 
$$k_i = \left( \frac{1}{r_i} + \frac{1}{r_{i+1}} \right) \tan \frac{\alpha_i}{2}$$
 wobei die Winkel  $\alpha_i$  mit Vorzeichen gemäß Umlaufsinn behaftet sind.



G. Zachmann Computer-Graphik 2 – SS 10
Verallgemeinerte baryzentrische Koordinaten 23

- Man sieht sofort:  $\sum k_i = \frac{1}{2} \sum w_i$ 

(Die Summanden sind nur etwas anders zusammengefasst, und es fehlt der Faktor 1/2 bei den  $r_i$ .)
- Klar ist: falls die Kante  $P_i P_{i+1}$ 
  - Exit-Kante  $\rightarrow k_i > 0$
  - Entry-Kante  $\rightarrow k_i < 0$
- Sei  $P_i P_{i+1}$  eine Entry-Kante
- Dann existiert dazu eine Exit-Kante  $P_j P_{j+1}$ , die näher an X liegt
- Für deren Winkel gilt  $\alpha_j = -\alpha_i$
- Für die Abstände gilt:
 
$$r_j \leq r_{i+1} \wedge r_{j+1} < r_i \quad \text{oder} \quad r_j < r_{i+1} \wedge r_{j+1} \leq r_i$$

G. Zachmann Computer-Graphik 2 – SS 10
Verallgemeinerte baryzentrische Koordinaten 24

■ Damit gilt
 
$$k_j = \left( \frac{1}{r_j} + \frac{1}{r_{j+1}} \right) \tan \frac{\alpha_j}{2} > \left( \frac{1}{r_i} + \frac{1}{r_{i+1}} \right) \tan \frac{-\alpha_i}{2} = -k_i$$

■ D.h.: zu jedem  $k_i$  einer Entry-Kante gibt es ein  $k_j$  einer Exit-Kante, so dass  $k_i + k_j > 0$

■ Also ist  $\sum k_i > 0$

und damit auch  $\sum w_i > 0$

für alle  $X$  im Inneren von  $\mathcal{P}$

G. Zachmann Computer-Graphik 2 – SS 10 Verallgemeinerte baryzentrische Koordinaten 25

■ Auch für nicht-konvexe Polygone kann man weiterhin zeigen, daß die *mean value coordinates* die Eigenschaft haben, daß:
 

- $\lambda_i$  auch für  $X$  auf dem Rand des Polygons wohl-definiert sind;
- $\lambda_i(P_j) = \delta_{ij}$  ;
- $\lambda_i \in \mathcal{C}^\infty$  , außer an den  $P_j$  ; dort sind sie nur  $\mathcal{C}^0$

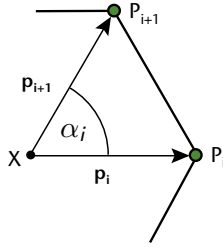
G. Zachmann Computer-Graphik 2 – SS 10 Verallgemeinerte baryzentrische Koordinaten 26

## Implementierung

- Praktische Berechnung des  $\tan\left(\frac{\alpha_i}{2}\right)$ :
 
$$\tan \frac{\alpha_i}{2} = \frac{1 - \cos \alpha_i}{\sin \alpha_i}$$

$$\cos \alpha_i = \frac{\mathbf{p}_i \cdot \mathbf{p}_{i+1}}{|\mathbf{p}_i| \cdot |\mathbf{p}_{i+1}|} \quad \sin \alpha_i = \frac{|\mathbf{p}_i \times \mathbf{p}_{i+1}|}{|\mathbf{p}_i| \cdot |\mathbf{p}_{i+1}|}$$

$$\text{Also: } \tan \frac{\alpha_i}{2} = \frac{|\mathbf{p}_i| \cdot |\mathbf{p}_{i+1}| - \mathbf{p}_i \cdot \mathbf{p}_{i+1}}{|\mathbf{p}_i \times \mathbf{p}_{i+1}|}$$

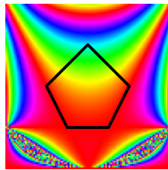


- Falls  $|\mathbf{p}_i \times \mathbf{p}_{i+1}| = 0$ , dann liegt X auf der Kante;
  - Spezialbehandlung:
    - X = P<sub>i</sub> oder X = P<sub>i+1</sub>
    - Sonst: linear zwischen P<sub>i</sub> und P<sub>i+1</sub> interpolieren

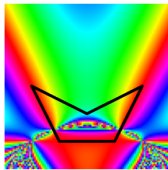
G. Zachmann Computer-Graphik 2 – SS 10 Verallgemeinerte baryzentrische Koordinaten 27

## Anwendung: Interpolation von Farben

- Gegeben:
  - Ein einfaches Polygon (nicht notwendigerweise konvex)
  - An jeder Ecke eine Farbe
- Aufgabe: das Innere des Polygons mit "schönen" Farbverläufen einfärben (häufige Aufgabe z.B. in Zeichen-Software)
- Lösung:
  - Berechne für jedes Pixel im Inneren dessen baryzentrische Koordinaten bzgl. des gegebenen Polygons
  - Interpoliere die Farben der Ecken mittels dieser baryzentrischen Koord.



Wachspress

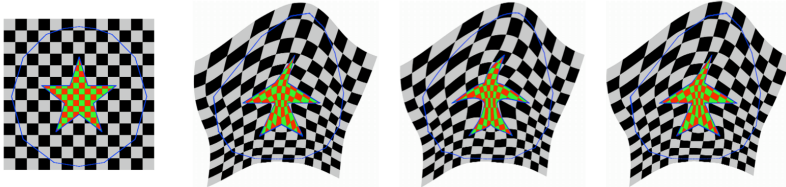



Mean Value Coordinates

G. Zachmann Computer-Graphik 2 – SS 10 Verallgemeinerte baryzentrische Koordinaten 35

## Anwendung: Image Warping

- Aufgabe: Bild gegeben, verzerre dieses durch Verschieben einiger "Kontrollpunkte"
- Beispiele:

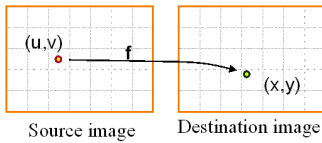
G. Zachmann Computer-Graphik 2 – SS 10 Verallgemeinerte baryzentrische Koordinaten 36

## Algorithmus

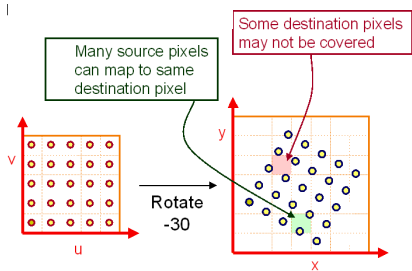
- Erste Idee: "Forward Mapping"

```

for u = 0 .. umax:
  for v = 0 .. vmax
    x, y = f(u,v)
    dst(x,y) ← src(u,v)
  
```



- Konstruktion von f:
  - verwende baryzentrische Koord
  - Bestimme baryz. Koord bzgl. Kontrollpunkte im Quellbild
  - Interpoliere Positionen der Kontrollpunkte im Zielbild
- Probleme:



G. Zachmann Computer-Graphik 2 – SS 10 Verallgemeinerte baryzentrische Koordinaten 37

- Bessere Idee: "Reverse Mapping"
 

```

for x = 0 .. xmax:
  for y = 0 .. ymax
    u, v = f-1(x,y)
    dst(x,y) ← src(u,v)
                
```

Source image

Destination image

$f$

  - Wieder baryzentrische Interpolation für  $f^{-1}$ , diesmal mit vertauschten Rollen
  - Kleines Problem:
    - (u,v) sind keine Pixel-Koord, sondern liegen "dazwischen"
    - Man muß "Resampling" machen

G. Zachmann Computer-Graphik 2 – SS 10
Verallgemeinerte baryzentrische Koordinaten 38

## Resampling

- Einfachste Lösung: Runden
  - Ergibt schwere Artfakte ("Aliasing"; dazu später mehr)
- Zweit-einfachste Lösung: bi-lineare Interpolation

Point



Bilinear

```

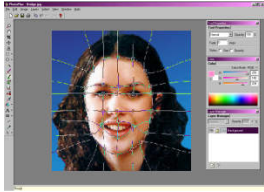
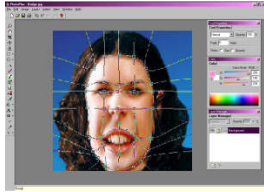
for x = 0 .. xmax:
  for y = 0 .. ymax
    u, v = f-1(x,y)
    a = lin.interp. zwischen src(u1,v2) und src(u2,v2)
    b = lin.interp. zwischen src(u1,v1) und src(u2,v1)
    c = lin.interp. zwischen a und b
    dst(x,y) ← c
                
```

G. Zachmann Computer-Graphik 2 – SS 10
Verallgemeinerte baryzentrische Koordinaten 39

■ Weitere Beispiele:


■ Fertig integriert in Software:


G. Zachmann Computer-Graphik 2 – SS 10
Verallgemeinerte baryzentrische Koordinaten 40

## Anwendung: Morphing [2004]

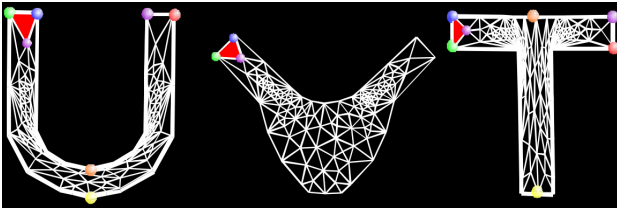
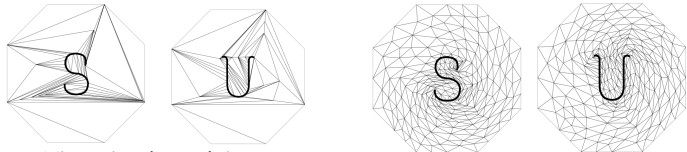
- Gegeben: zwei Dreiecks-Meshes  $M_1$  und  $M_2$  mit ...
  - genau gleich vielen Vertices und gleich vielen Dreiecken; und
  - einer Korrespondenz  $\phi : V_1 \rightarrow V_2$  so, daß
 
$$P, Q, R \text{ ist ein Dreieck in } M_1 \Leftrightarrow \phi(P), \phi(Q), \phi(R) \text{ ist ein Dreieck in } M_2$$
- Aufgabe: eine gleichmäßige "Verformung" von Mesh  $M_1$  in  $M_2$ 
  - Wegen der Korrespondenz genügt es, die Koordinaten der Vertices von  $V_1$  gleichmäßig (z.B. über 1000 Zeitschritte hinweg) so zu verändern, daß am Ende  $V_2$  entsteht
- Terminologie:  $M_1$  und  $M_2$  heißen auch "*morph targets*", oder "*source*" und "*target*"



G. Zachmann Computer-Graphik 2 – SS 10
Verallgemeinerte baryzentrische Koordinaten 41

- Sei  $t$  der "Morph-Parameter"
- Naïve Lösung: lineare Interpolation
 
$$P(t) = (1 - t)P + t\Phi(P)$$
- Beispiel:
 

G. Zachmann Computer-Graphik 2 – SS 10 Verallgemeinerte baryzentrische Koordinaten 42

- Annahme: beide Meshes  $M_1$  und  $M_2$  befinden sich in der Ebene
 
- Schließe beide Morph-Targets in einen gemeinsamen, festen(!) Polygonzug ein:
 

Mit wenig oder gar keinen zusätzlichen Punkten

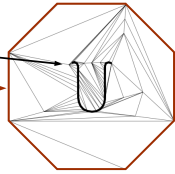
Vielen zusätzlichen (Steiner) Punkten

G. Zachmann Computer-Graphik 2 – SS 10 Verallgemeinerte baryzentrische Koordinaten 43



■ Bezeichnungen:
 

- Innere Vertices  $V_I = \{P_i \mid i = 1 \dots n\}$
- Rand-Punkte  $V_B = \{P_i \mid i = n + 1 \dots n + k\}$
- $N = n + k$
- $E$  = Menge der Kanten



■ Stelle mittels verallgemeinerter baryzent. Koordinaten ein LGS für alle Vertices auf (jeweils für  $M_1$  und  $M_2$ ):
 

- Für jedes  $P_i \in V_I, i = 1 \dots n$   
bestimme  $\lambda_{ij} > 0 \forall (i, j) \in E$   
und setze  $\lambda_{ij} = 0 \forall (i, j) \notin E$

G. Zachmann Computer-Graphik 2 – SS 10 Verallgemeinerte baryzentrische Koordinaten 44

■ Damit ist
 
$$P_i = \sum_{j=1}^N \lambda_{ij} P_j, \quad i = 1 \dots n$$

■ Etwas anders aufgeschrieben:
 
$$P_i - \sum_{j=1}^n \lambda_{ij} P_j = \sum_{j=n+1}^{n+k} \lambda_{ij} P_j, \quad i = 1 \dots n$$

■ Mit  $P_i = (x_i, y_i, z_i)$  ergeben sich also 3 LGSe:
 
$$\underbrace{\begin{pmatrix} 1 & -\lambda_{12} & \dots & -\lambda_{1n} \\ -\lambda_{21} & 1 & \dots & \\ \vdots & \vdots & \ddots & \vdots \end{pmatrix}}_{\mathbf{A}} \underbrace{\begin{pmatrix} x_1 \\ x_2 \\ \vdots \end{pmatrix}}_{\mathbf{x}} = \underbrace{\begin{pmatrix} \lambda_{1,n+1}x_{n+1} + \dots + \lambda_{1,n+k}x_{n+k} \\ \vdots \\ \vdots \end{pmatrix}}_{\mathbf{b}}$$

- Analog für y und z

G. Zachmann Computer-Graphik 2 – SS 10 Verallgemeinerte baryzentrische Koordinaten 45

- Die (simple) Idee:
  1. Interpoliere die  $\lambda$ 's:
 
$$\lambda_{ij}^{(t)} = (1 - t)\lambda_{ij}^{(1)} + t\lambda_{ij}^{(2)}$$
  2. Löse für jedes  $t$  die 3 LGSe
- Etwas weniger simple Idee ("intrinsic Morphing"):
  1. Interpoliere die  $\alpha$ 's und  $r$ 's:
 
$$\alpha_{ij}^{(t)} = (1 - t)\alpha_{ij}^{(1)} + t\alpha_{ij}^{(2)} \quad r_{ij}^{(t)} = (1 - t)r_{ij}^{(1)} + tr_{ij}^{(2)}$$
  2. Berechne daraus  $\lambda(t)$ 's
  3. Löse die 3 LGSe
- Übungsaufgabe: wieviele Parameter werden in den 3 Varianten interpoliert? (für ein bestimmtes  $t$ )

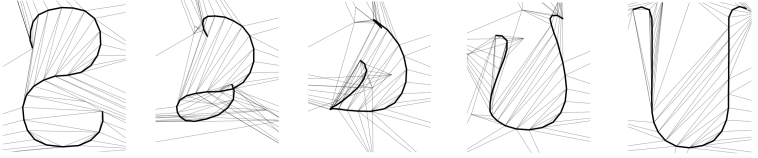


G. Zachmann Computer-Graphik 2 – SS 10 Verallgemeinerte baryzentrische Koordinaten 46

### Zur Implementierung

- Bemerkung:
  - Die Matrix  $A$  ist nicht notw. symmetrisch
  - Sie ist dünn besetzt
  - Sie ist größtenteils diagonal dominiert, aber keine Bandmatrix
- Verwende einen iterativen Solver
- Starte mit der Matrix von  $t-1$

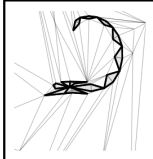
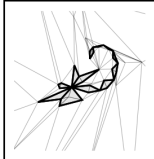
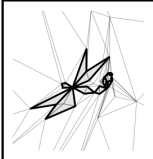

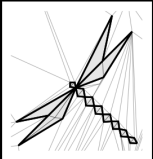

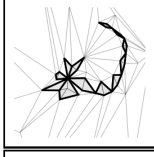

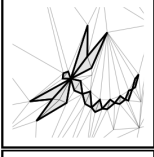
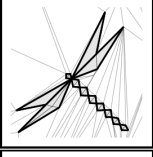
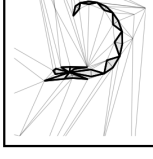
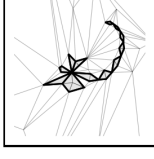
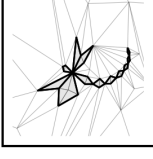
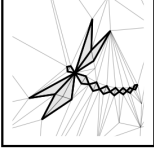
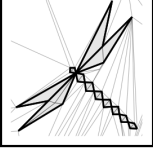
G. Zachmann Computer-Graphik 2 – SS 10 Verallgemeinerte baryzentrische Koordinaten 47

**Resultate**

- Lineare Interpolation der Vertices:**

- Lineare Interpolation der baryzentrischen Koordinaten:**

- Intrinsische Interpolation:**


G. Zachmann Computer-Graphik 2 – SS 10 Verallgemeinerte baryzentrische Koordinaten 48

**Weiteres Beispiel:**

					linear	
						baryzentrisch
						

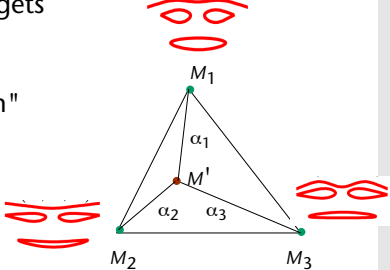
G. Zachmann Computer-Graphik 2 – SS 10 Verallgemeinerte baryzentrische Koordinaten 49

Erweiterung

- Simultanes Morphing mehrerer Targets
- Gegeben  $n$  Morph-Targets  $M_i$
- Aufgabe: bestimme ein "in-between"

$$M' = \sum \alpha_k M_k$$

- Idee:
  - Bestimme die baryzentrischen Koord.  $\lambda_{ij}^{(k)}$  aller  $M_k$  bzgl. eines festen Kontrollpolygons (oder Kontrollpolyeders im 3D)
  - Interpoliere die  $\lambda$ 's:
 
$$\lambda'_{ij} = \sum \alpha_k \lambda_{ij}^{(k)}$$
  - LGSe lösen



G. Zachmann Computer-Graphik 2 – SS 10 Verallgemeinerte baryzentrische Koordinaten 50